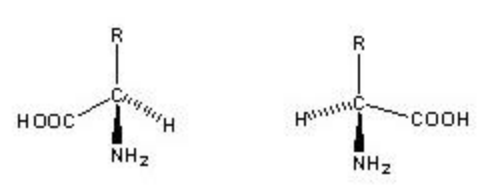
1/13 BCPST1 - G. Furelaud

SV-D-2.4 poly 01

Grandes familles biochimiques : Acides aminés et protéines

Fig. 1. Structure générale d'un acide aminé.



C: carbone alpha COOH: groupe carbonyle NH2 : groupe amine R: résidu variable

D amino acid Lamino acid Les acides aminés présents dans les molécules biologiques sont les stéréoisomères L.

Fig. 2. Propriétés d'absorption des acides aminés et dosage des protéines (pour information) 🖈

Les acides aminés absorbent les longueurs d'onde (λ) inférieures à 230nm en général.

Cette propriété est utilisée par exemple pour réaliser des dosages spectrophotométrique des protéines. Un spectrophotomètre mesure l'absorbance A d'une solution, pour une λ ou une plage de λ :

$$A = -\log \frac{I}{I_0}$$

I intensité de la lumière sortant de la solution, Io intensité de la lumière entrante.

Si $\frac{I}{I_0}$ < 1, alors A est positif (une partie de la lumière entrante est absorbée par la solution de protéine). A augmente quand la quantité de lumière absorbée est plus importante.

Or d'après la loi dite de Beer Lambert, A est lié à la concentration de la solution :

A=
$$\epsilon$$
.L.C \iff $C = \frac{A}{\epsilon . L}$ ϵ coefficient d'absorbance, L longueur de la solution traversée, C concentration.

D'où la possibilité de dosage d'une protéine, à partir du moment où la valeur de E est connue. Pour cela, on utilise en général une gamme étalon (= une série de protéines de concentrations connues).

Fig. 3. La notion de pHi et son calcul: l'état d'ionisation d'un acide aminé isolé.

Le pHi, ou pH isoélectrique est la valeur de pH pour laquelle le protide (acide aminé ou polypeptide) est sous forme de zwitterion, électriquement neutre. Placé dans un champ électrique, le protide ne se déplace pas si le pH du milieu est égal à son pHi.

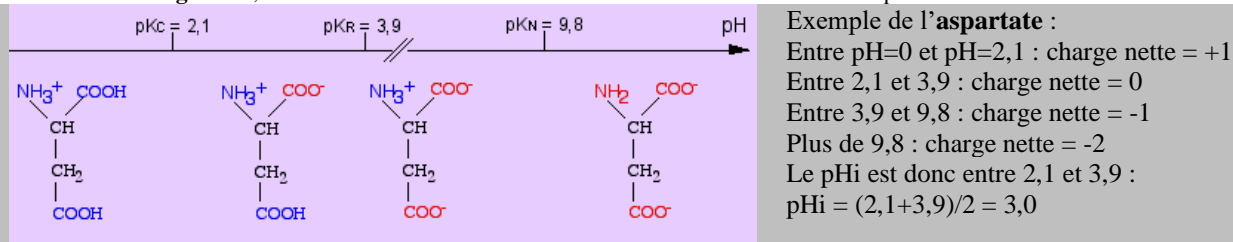
Lorsque l'on étudie un acide aminé ne possédant pas de fonction acide ou basique au niveau de sa chaîne latérale, alors son pHi est égal à la demisomme des pKa de ses fonctions acide et amine :

$$pHi = \frac{pK1 + pK2}{2}$$

Dans le cas de l'alanine :

pK1 (fonction amine) = 9.7pK2 (fonction acide carboxylique): 2,3 Donc: pHi = 6.0

Toutefois, la situation est plus complexe si le protide considéré est un polypeptide (qui peut avoir des chaînes latérales chargées) ou un acide aminé avec une chaîne latérale chargée : dans ces cas de figure, le nombre de fonctions acido-basique à prendre en compte est d'au moins 3. Comment faire? La technique consiste à construire un tableau, en plaçant tous les pKa connus (du -NH2 terminal, du -COOH terminal, et des chaînes latérales chargées); pour chaque pKa, on indique que pour un pH inférieur la fonction est positivement (+1) alors que pour un pH inférieur, elle est chargée négativement (-1); dans tous les intervalles entre deux pKa, on peut donc déterminer la charge globale de la molécule : pour un intervalle, on trouve une charge de 0; on utilise alors la formule donnée ci-dessus en utilisant les deux pKa encadrant l'intervalle où se trouve le zwitterion.



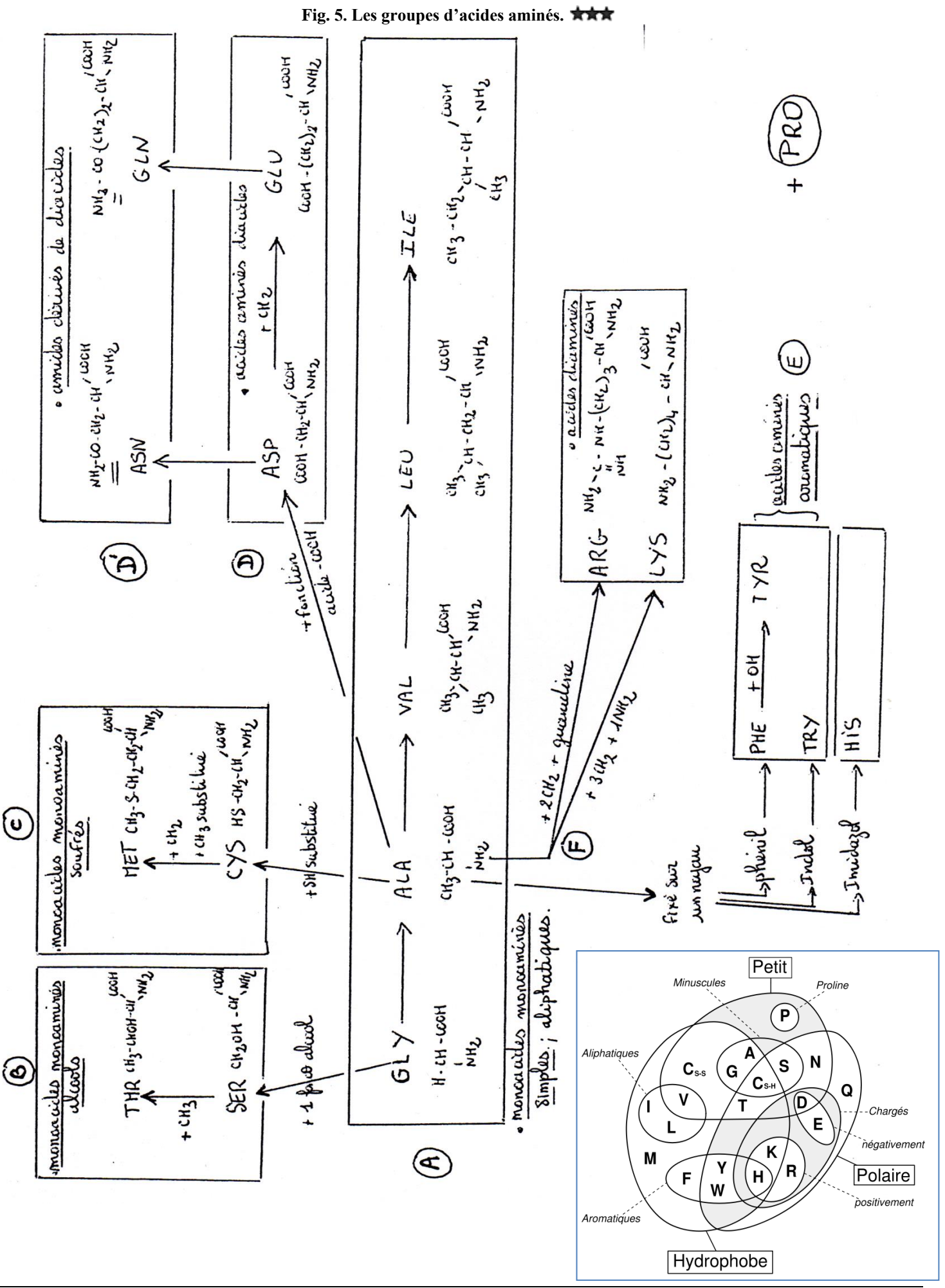
Deux pages web sur les acides aminés et les pK, pHi, avec des animations : (pour information)

http://www.snv.jussieu.fr/vie/dossiers/acideamine/acideamine.htm http://www.snv.jussieu.fr/bmedia/aa/aa1.html

Fig. 4. Les 20 acides aminés naturels. **

]	Fig. 4. Les	20 acides aminés naturels. ***			polaire ?	hydrophobe?	charge?
	ALIPRATIQUES	Sinples	GLYCOCOLLE OF GLYCINE	ALA	H - CH - WOH NH2 CH3 - CH - CH - WOH CH3 CH - CH - WOH	G A V	Hydroplebes apolaíres		X	
			LEUCINE	LEU	CH3 CH - CK2 - CH - WOH CH3 CH- CH2 - CH - WOH	L			, `	
		Hydroxyles	SERINE		сн3-сн2/ NH2 сн20H) - сн - соон NH2 сн3-сн0H) - сп - соон NH2	-	Hydrophiles Holavies (OK)	X		
		Soufrés	CYSTÉINE	CYS T#	(H5) - CH2 - CH - WOH NH2 CH3 - (3) - CH2 - CH2 - CH - WOH NH2		Hychophobes H apolaines		X	
	Diacides		ACIDE ASPARTI aspartate ACIDE GWIATII glutamate	ASP	(00H) - CH2 - CH - WOH NH2 NH2	m o contractibles profession by choosing				(-)
	Anides		As paragine Glutamine		NH2 - C - CH2 - CH - WOH NH2 - C - CH2 - CH - WOH. NH2 - C - CH2 - CH - WOH.	_ z q _	holaíre hydropkiles	X		
	DiAnines (basiques)		LYSINE	LYS ARG	NH2 - CH2 - CH2 - CH2 - CH2 - CH - LOOH NH2 NK2 - C - NH - CK2 - CK2 - CH2 - CH - LOOH NH2 NH2	K R	sonsables solaires Suzchoplistes			(+)
HETEROCYCLIQUES ARDMATIQUES	PHENYLALANINE TRYPTOPHANE			PHE TRP	O- CH2-CH-COOH NH2 NH2 NH2	F W	Mychophobes apolitimes saug TYR (-012)		X	
	476081			TYR HÌS	HO - CH2-CH-WOH NH2 CH2-CH-WOH NH2		Sizerément Suzche prolaire apola	X		(+)
	PROL		INE	720	LN COOH	_	apolaire Bi		X	•

BCPST1 – G. Furelaud 3/13



BCPST1 – G. Furelaud 4/13

Groupe	Acide ⇌ Base + H'	pK normal *
Carboxyle terminal	COOH === -COO- + H+	3,1
Acide aspartique et acide glutamique	-COOH === -COO⁻ + H⁺	4,4
Histidine	H H H H H H	6.5
Amine terminale	-NH ₃ + == -NH ₂ + H+	8,0
Cystéine	-SH == -S⁻ + H⁺	8,5
Tyrosine	$-\sqrt{}-0+1$	10,0
Lysine	-NH ₃ +NH ₂ + H+	10,0
Arginine	$-\frac{H}{N-C} \xrightarrow{NH_2^+} \Longrightarrow -\frac{H}{N-C} \xrightarrow{NH} + H^+$	12,0

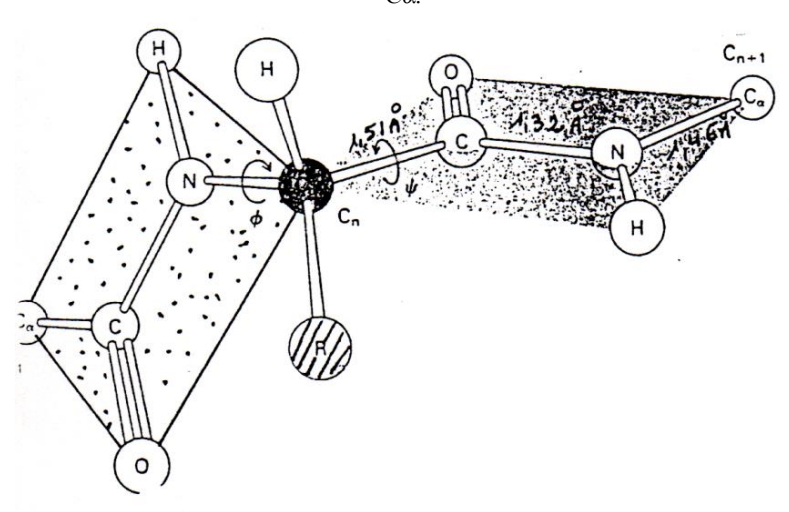
Fig. 6. Ionisation de quelques fonctions présentes dans les acides aminés (pour information).

Fig. 8. Formation d'une liaison peptidique, par réaction entre un groupement acide carboxylique et un groupement amine de deux acides aminés.

liaison peptidique

Fig. 9. Les quatre atomes de la liaison peptidique (C H O N) forment un plan rigide.

Au niveau du squelette des protéines, les seuls degrés de liberté se situent donc au niveau des deux liaisons C-C et C-N établies par le



^{*} Les valeurs des pK dépendent de la température, de la force ionique et du microenvironnement du groupe ionisable.

BCPST1 – G. Furelaud 5/13

Fig. 10. Deux méthodes d'étude de la structure protéique.

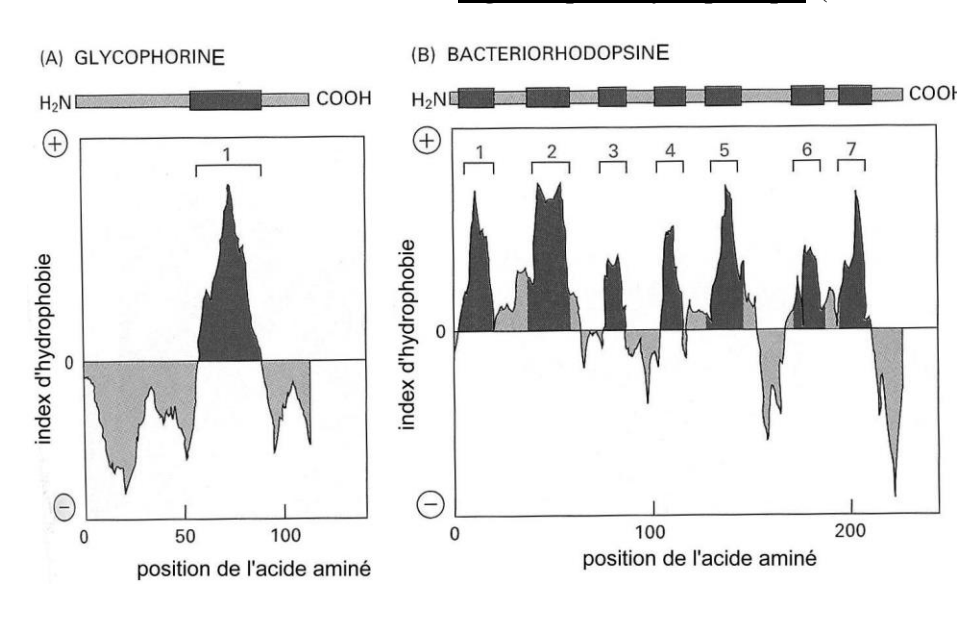
[fig. 1-A] études critallographiques

Les protéines possèdent des structures tridimensionnelles. Elles sont explorées en particulier par **cristallographie aux rayons X**: la molécule à étudier est cristallisée, et bombardée par un faisceau de rayons X. L'étude de la manière dont ces rayons sont déviés renseigne sur la structure 3D de la molécule.

On utilise aussi actuellement les techniques de RMN, utilisant des spectres magnétiques issus de la mise en résonnance d'atomes de la protéine.

Le processus complet est complexe, et passe par l'édification de modèles de la structure étudiée. Techniques développées en particulier par **Linus Pauling** (double Nobel : 1954 de chimie pour découverte de la nature de la liaison chimique (et hélice α des protéines) ; 1962 de la Paix).

[fig. 1-B] profil hydropathique (cf. TP SV-D1)

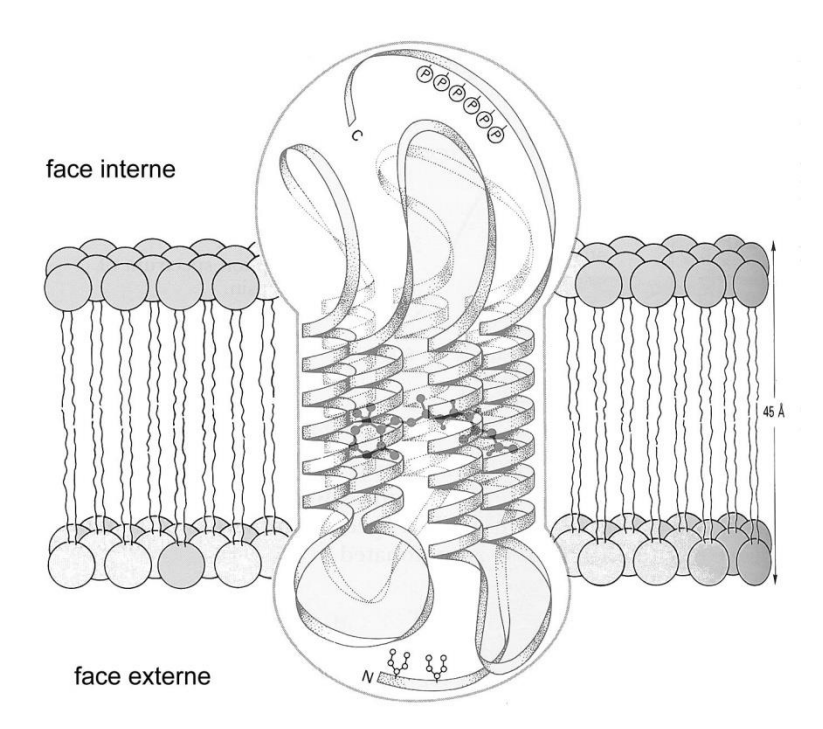


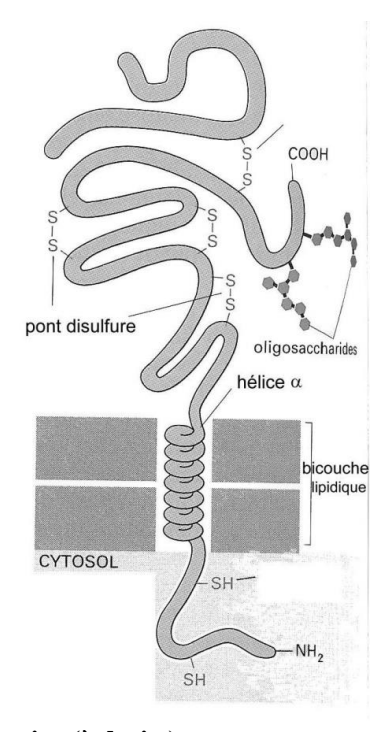
← Profils d'hydropathie :

Il est possible de déterminer un degré d'hydrophilie (et donc d'hydropathie à l'inverse) de chaque chaîne latérale d'acide aminé: c'est 1'index d'hydrophobie, qui a une valeur positive si l'acide aminé est hydrophobe. En représentant sur un même graphe les index d'hydrophobie des acides aminés successifs constitutifs 'une protéine, on obtient un profil d'hydropathie. Les domaines fortement hydrophobes indiquent probabilité une forte d'une d'existence traversée transmembranaire.

AA hydrophobes:

- Aliphatiques simples (GLY, ALA, VAL, LEU, ILE)
- Aliphatiques soufrés (CYS, MET)
- PHE, TRP, HIS, PRO



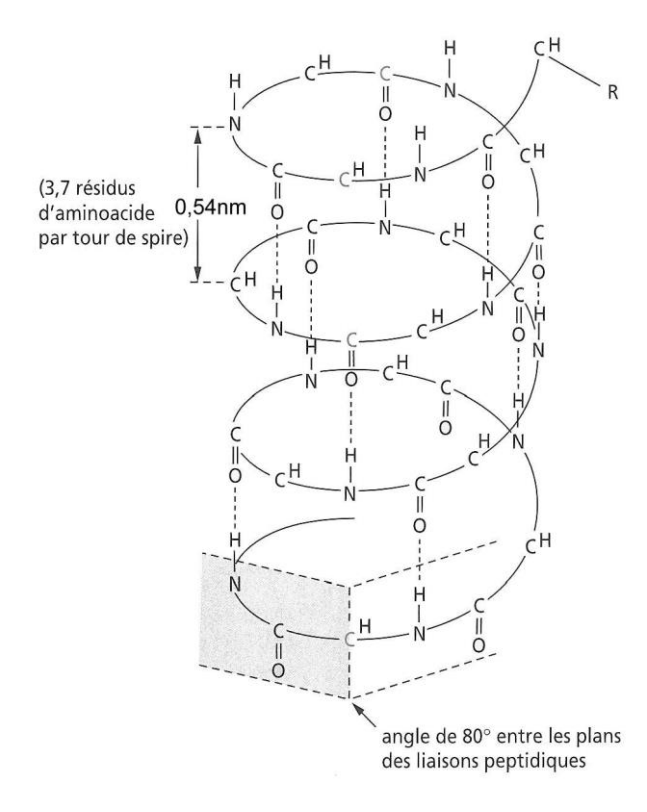


Structure de la bactériorhodopsine (à gauche) et de la glycophorine (à droite)

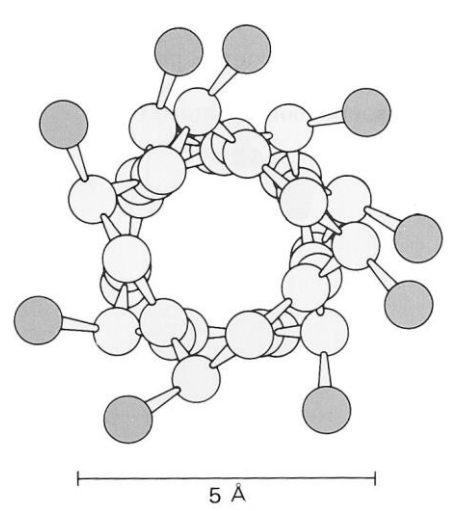
La bactériorhodopsine présente 7 traversées membranaires hydrophobes.

La glycophorine présente elle une unique hélice alpha transmembranaires. Elle présente aussi des ponts disulfures, uniquement du côté extracellulaire. Elle présente aussi des glycosylations, sous la forme de chaînes oligosaccharidiques. Là aussi, les glycosylations sont uniquement présentes du côté extracellulaire.

BCPST1 - G. Furelaud 6/13

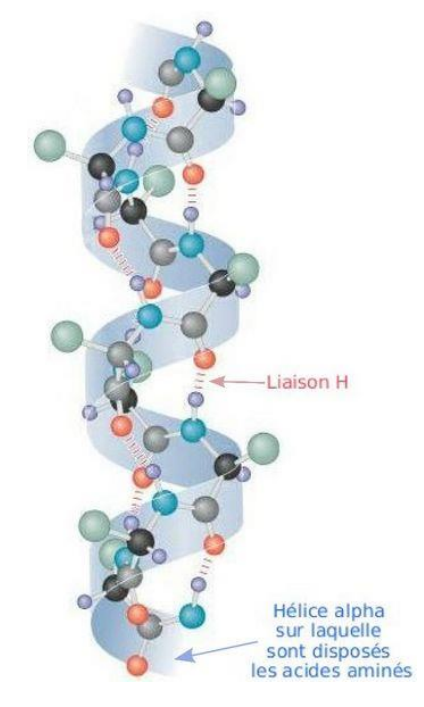


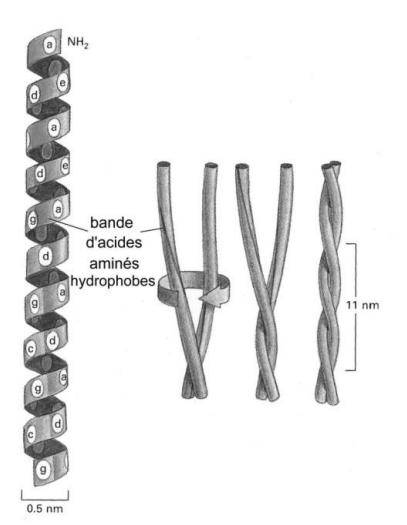
← Fig. 11. Représentation schématique d'une hélice α. ★★★ Noter les liaisons hydrogènes entre un groupement C=O et le groupement N-H de la troisième liaison peptidique suivante.



↑ Fig. 12. Hélice alpha vue par le dessus, montrant la position des chaînes latérales (en gris).

← Fig. 13. Autre représentation schématique d'une hélice alpha. ★★ Il s'agit d'une hélice droite : noter le mouvement de la spirale, descendant de la droite vers la gauche au premier plan.





↑ Fig. 14. Association de deux hélices α par interaction hydrophobe (pour information).

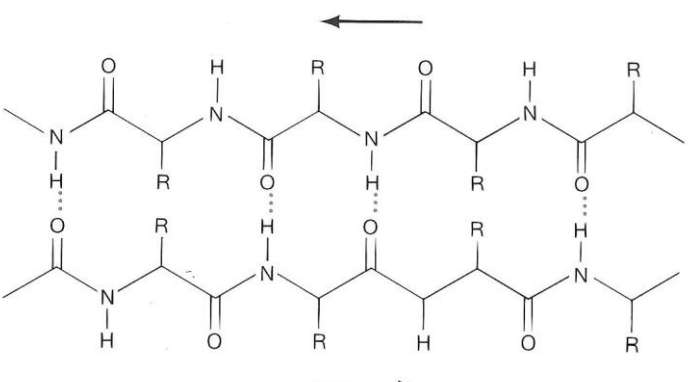
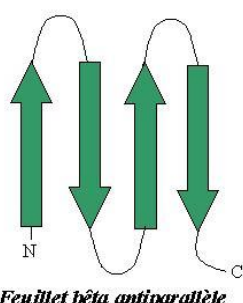


Fig. 15. Liaisons hydrogènes entre deux brins antiparallèles.



Feuillet bêta antiparallèle

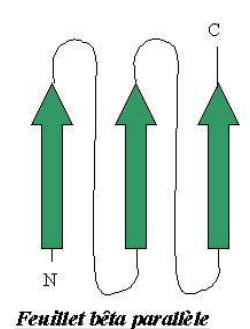


Fig. 16. Associations parallèles ou antiparallèles des chaînes d'acide aminés au sein d'un feuillet β. 🗯

BCPST1 – G. Furelaud 7/13

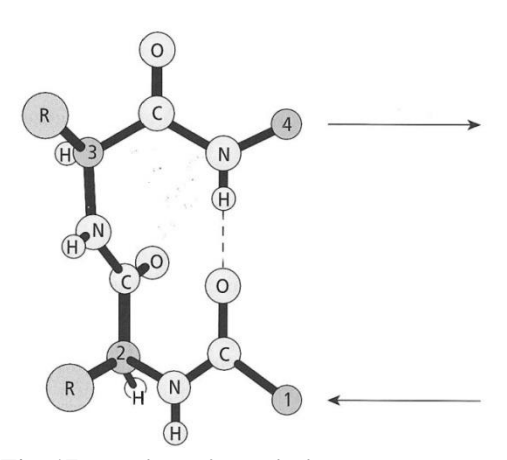


Fig. 17. Détail de l'association entre deux liaisons peptidiques dans un feuillet β .

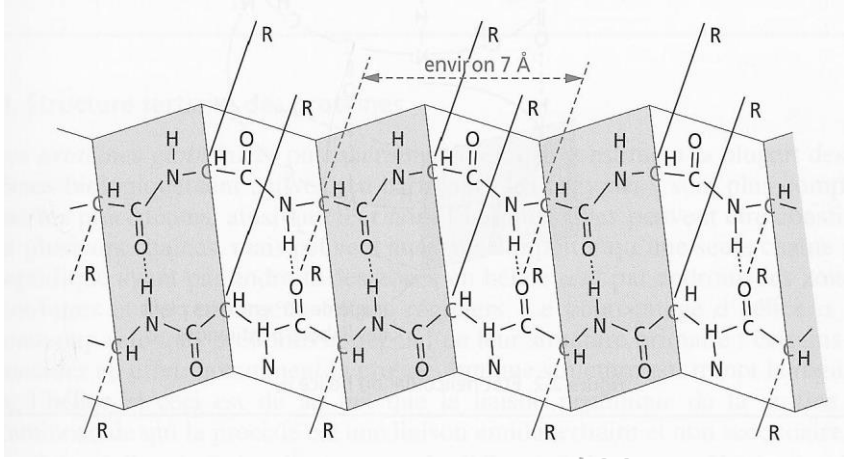


Fig. 18. Vue 3D d'un feuillet β. ***

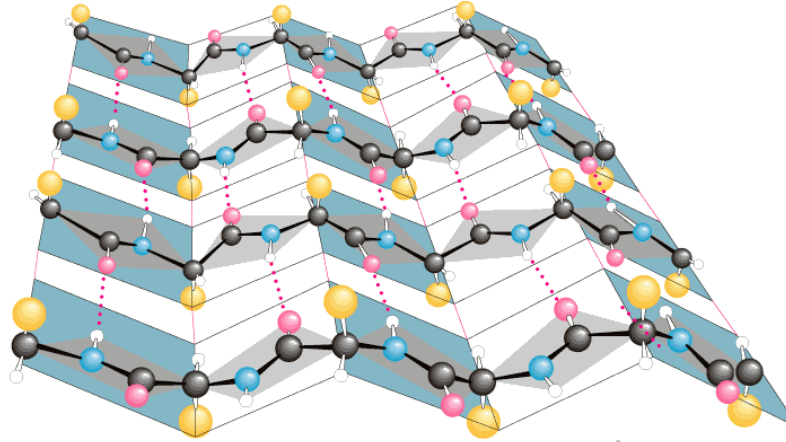


Fig. 19. Vue 3D générale d'un feuillet β. 🖈

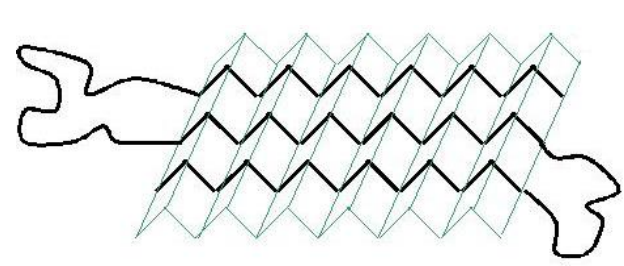


Fig. 20. Repliements de la chaîne polypeptidique et feuillet β . \bigstar

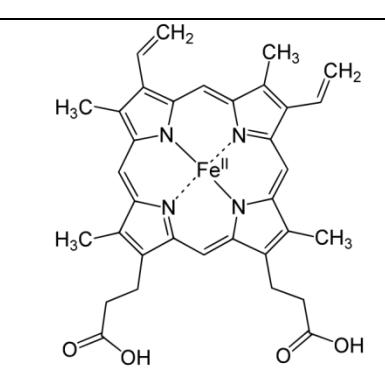
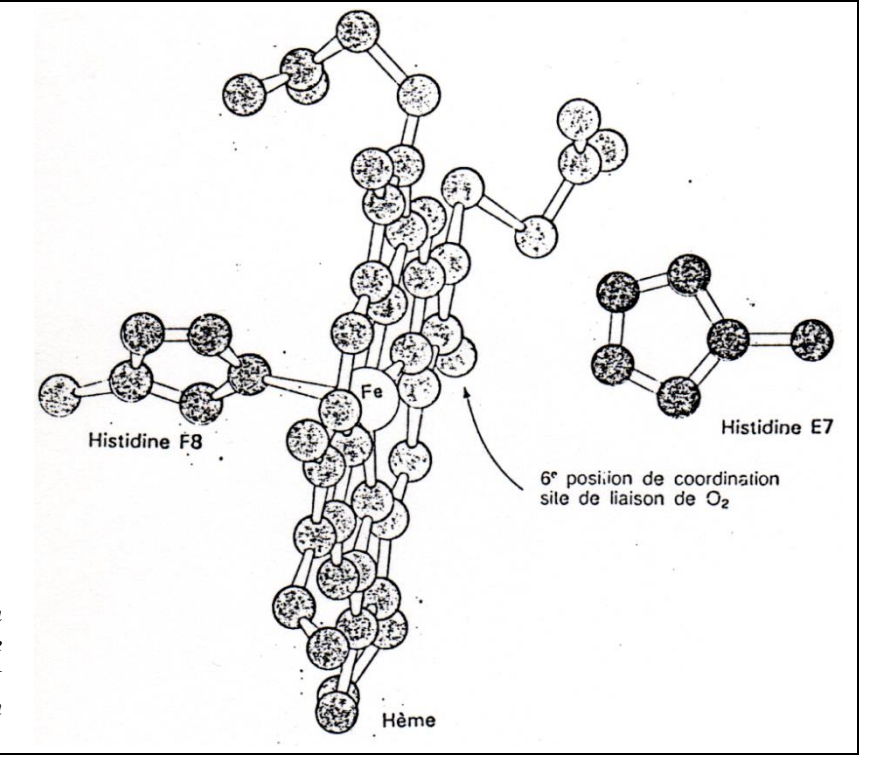


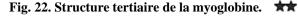
Fig. 21. L'hème ferreux de l'hémoglobine.

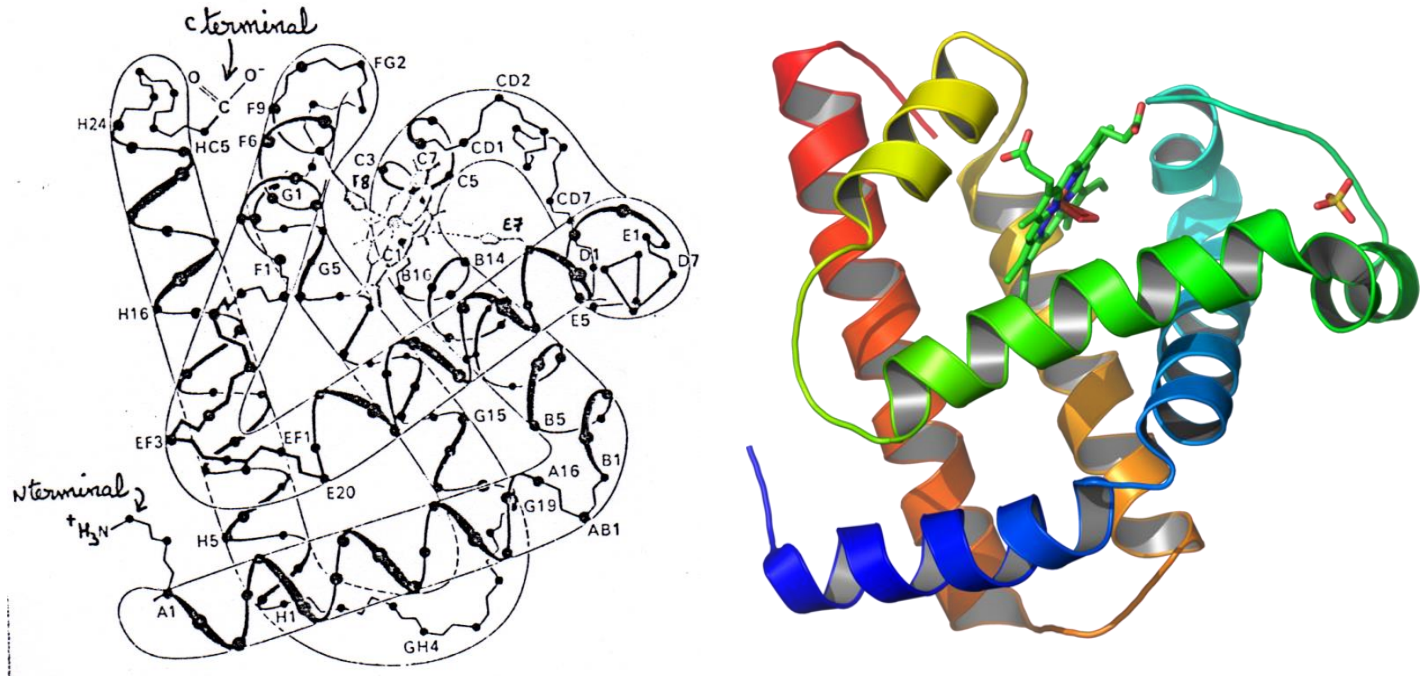
Ci-dessus, structure de l'hème : noyau tétrapyrrolique, dont les azotes établissent des liaisons de coordinance avec un ion Fe^{2+} (= ferreux).

A doite: l'ion Fe²⁺ est relié par une cinquième liaison de coordinance avec l'histidine F8 (histidine n°8 de l'hélice α F de la globine). Le O₂ se place entre le Fe²⁺ (en établissant la 6ème</sup> liaison de coordinance de l'ion fer) et l'histidine E7.



BCPST1 – G. Furelaud 8/13





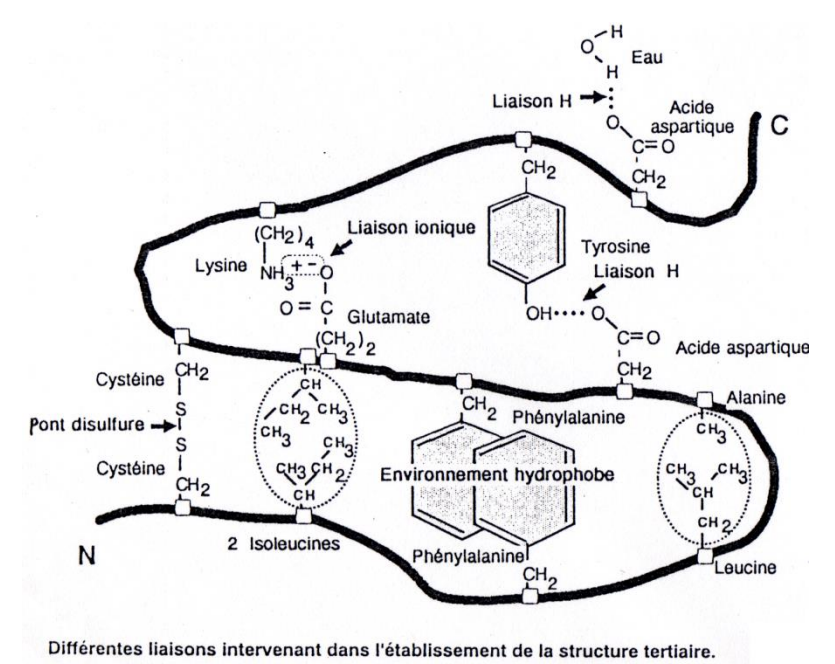


Fig. 23. Liaisons et structure tertiaire.

chaînes latérales polaires apolaires apolaires apolaires coeur hydrophobe radicaux polaires radicaux apolaires radicaux apolaires en interaction avec l'eau protéine non repliée

Fig. 24. Repliement théorique d'une protéine en fonction de la polarité ou non des chaînes latérales.

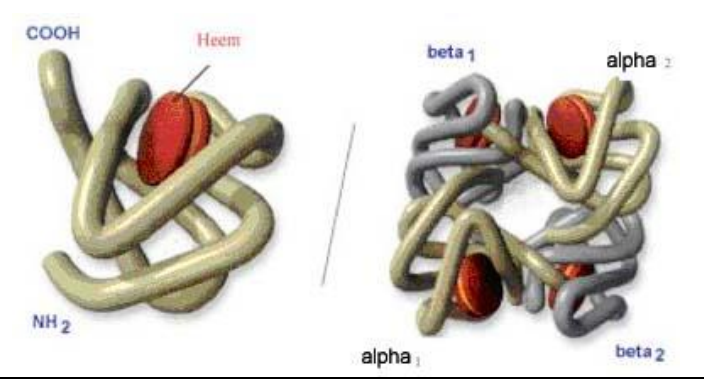


Fig. 25. L'hémoglobine (à droite) est formée de quatre globines :

L'hémoglobine A (forme majoritaire dans le sang) est constituée de deux globines alpha et deux globines béta.

 $HbA=\alpha_2\beta_2$

BCPST1 – G. Furelaud 9/13

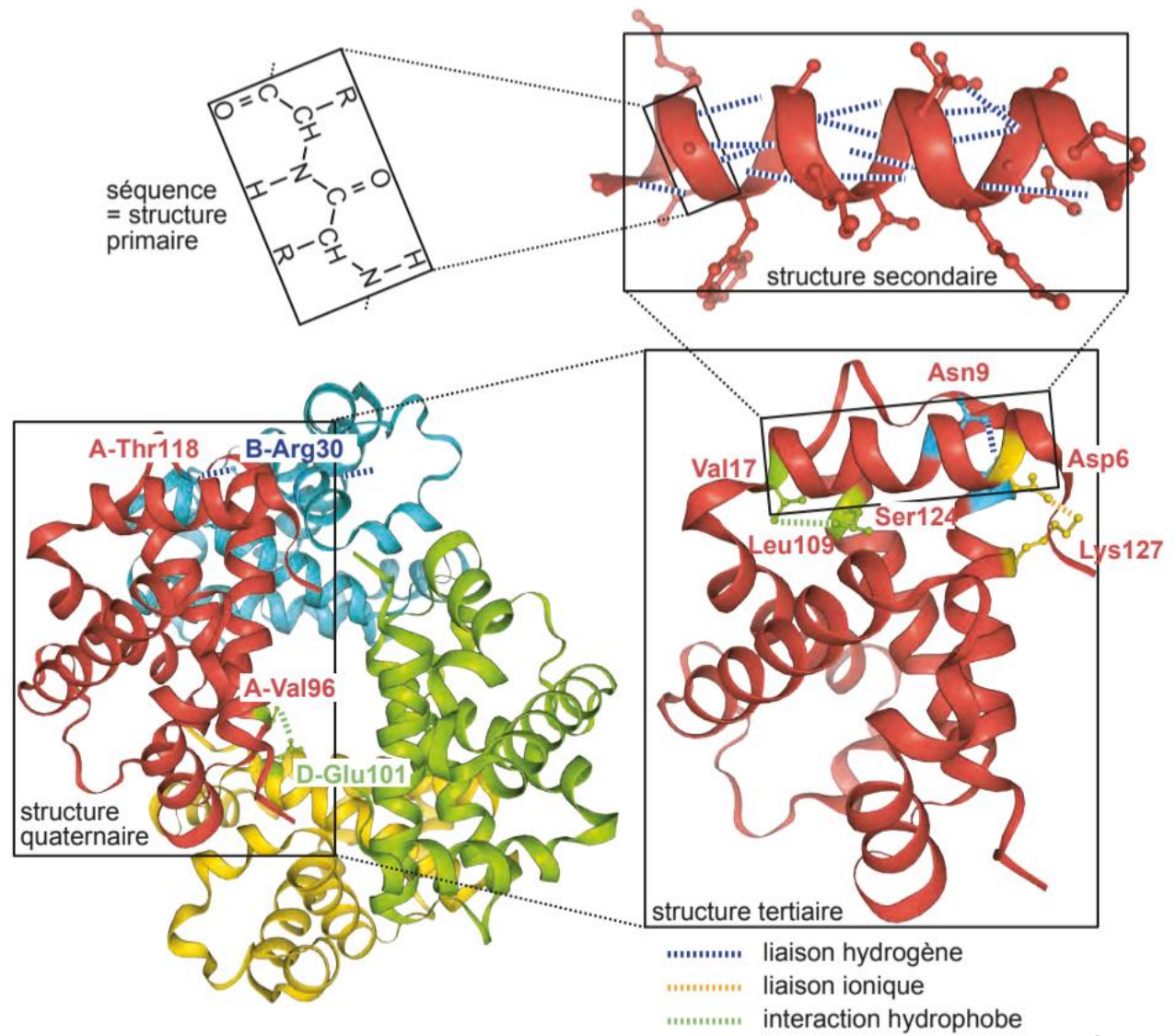


Fig. 26. Bilan : les quatre niveaux structuraux des protéines, à partir de l'exemple de l'hémoglobine. ** [2]



Fig. 27. Cinétique d'une enzyme michaelienne.

Une cinétique enzymatique représente la vitesse initiale (Vi ; vitesse mesurée au tout début de la réaction) en fonction de la concentration en substrat.

E = enzyme; S = substrat; P = protéine; L = ligand; ES = complexe enzyme-substrat; PL = complexe protéine-ligand

Enzyme	Substrat (ligand)	Km (mM)	
Hexokinase III humaine	Glucose	0.034	
	Glucose	0.032	
	Fructose	11.4	
Hexokinase I humaine	Mannose	0.1	
	Glucosamine	0.6	
	2-desoxyglucose	0.5	

Fig. 28. Hexokinase et affinités : quelques valeurs expérimentales. * [3]

BCPST1 – G. Furelaud 10/13

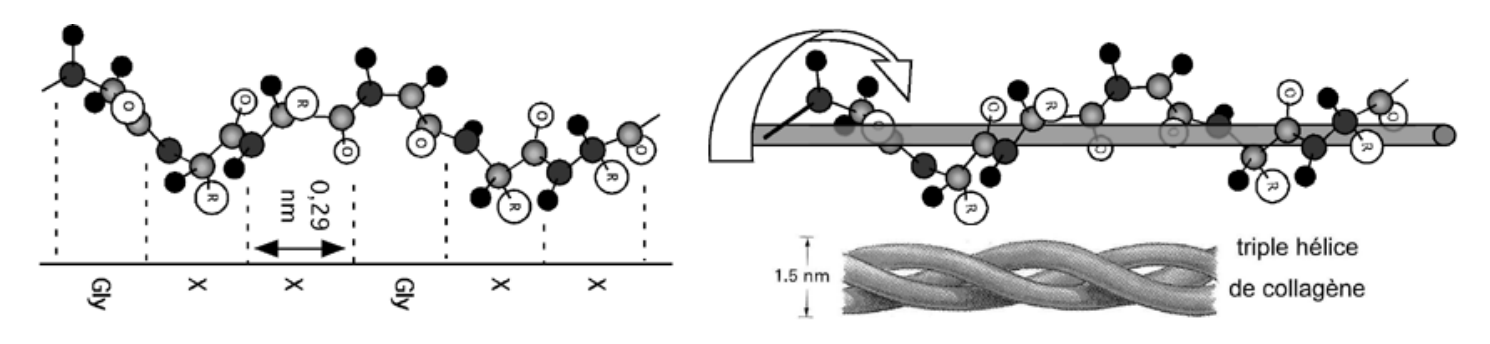
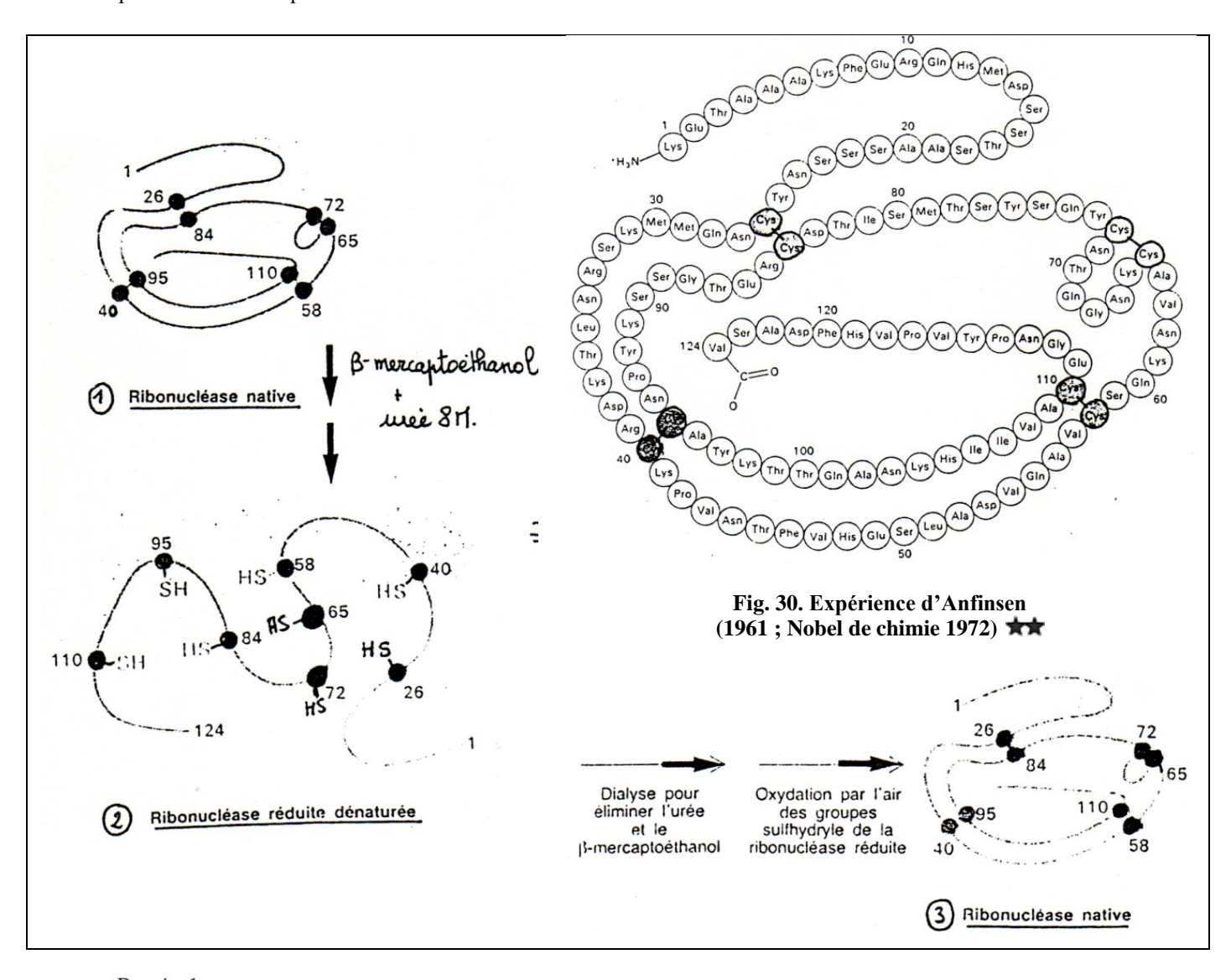


Fig. 29. Structure du collagène.

Le collagène (protéine de la matrice extracellulaire animale) est une protéine comportant un motif avec dans tous les cas une répétition des acides aminés Glycine (de très petite taille : R = -H) et Proline (limitant les structures possibles). Trois hélices gauches s'associent pour former une triple hélice.



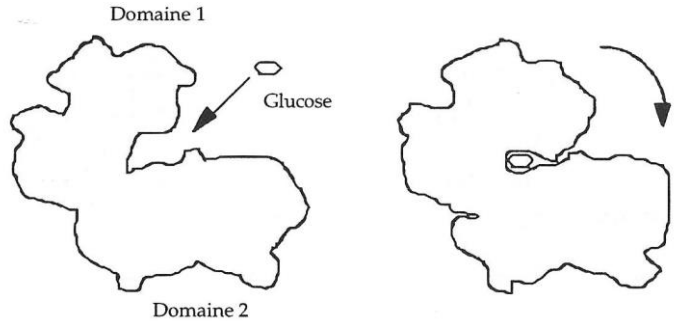
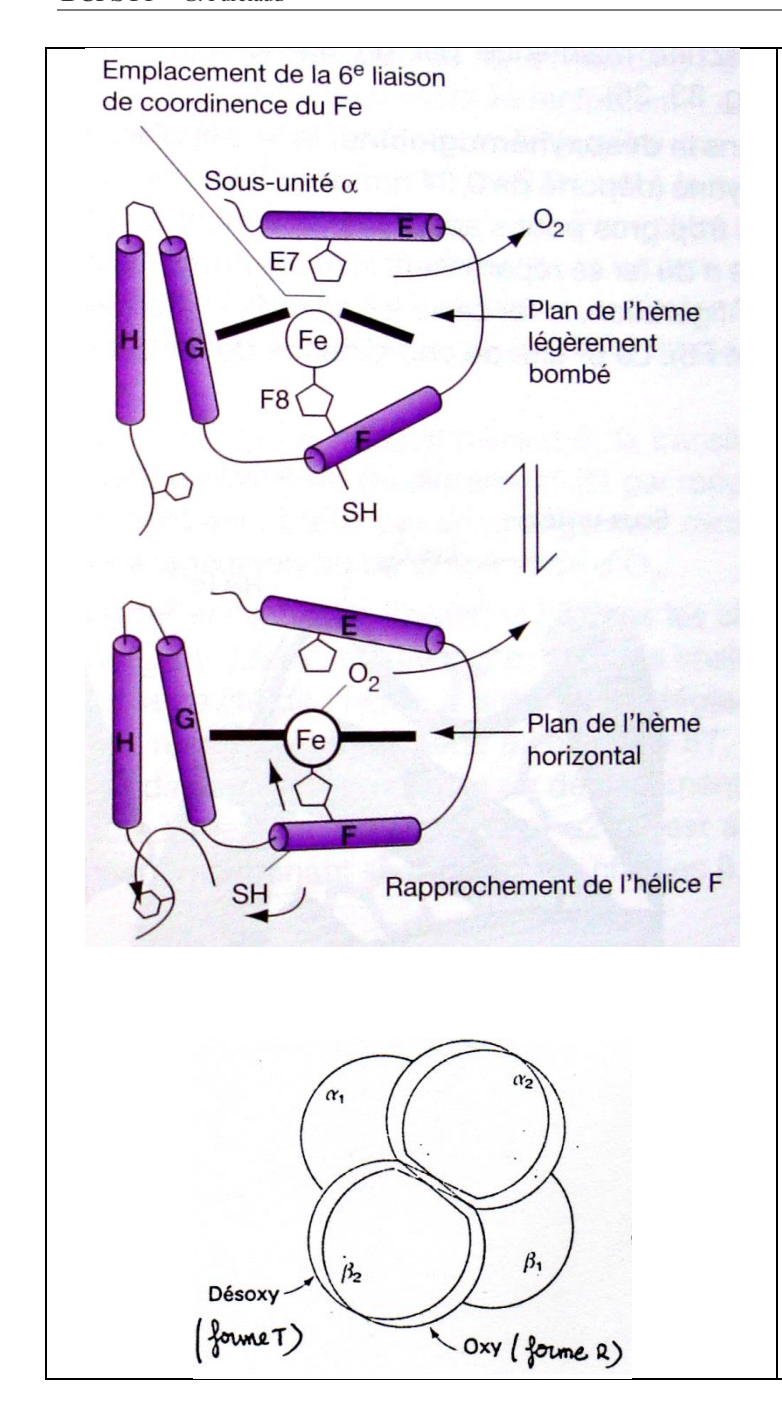


Fig. 31. Ajustement induit de l'hexokinase.

La fixation du substrat (glucose) au niveau du site actif s'accompagne d'une modification de la conformation tridimensionnelle de la protéine, avec un rapprochement de ses deux domaines.

Forme ouverte Forme fermée

BCPST1 – G. Furelaud 11/13



sous forme T (tendue).

Fig. 32. Conséquences de la fixation du dioxygène sur l'hème.

<u>En absence de dioxygène</u>, le plan de l'hème est légèrement bombé et le Fer est situé en dehors de ce plan.

Le Fer établi 6 liaisons : 4 liaisons (2 covalentes + 2 de coordinance) avec les azotes du noyau tétrapyrrolique fermé de l'hème), une liaison de coordinance avec l'histidine F8 (histidine **distale**), et une liaison reste libre.

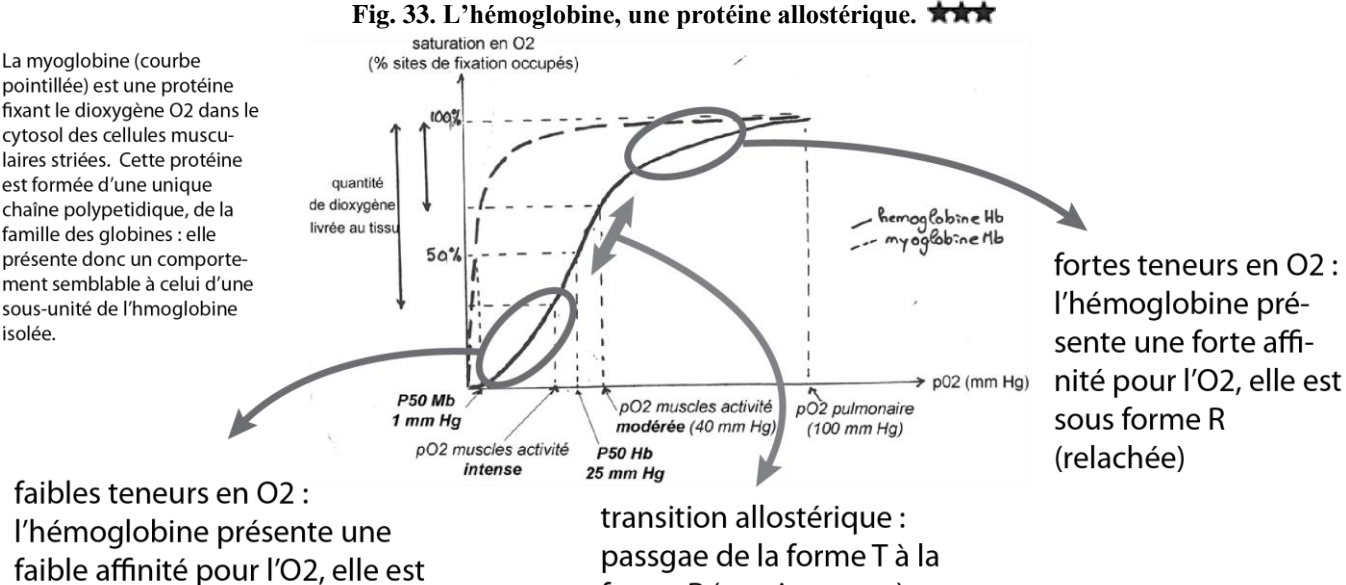
<u>En présence de dioxygène</u>, le rayon atomique du Fer est légèrement réduit par l'établissement de la liaison de coordinance Fe²⁺ - O₂. Le Fer peut alors se placer dans le plan de l'hème, qui adopte alors une forme plane.

Ceci correspond à un très léger mouvement de l'atome de Fer, qui « tire » alors sur l'histidine distale, déplaçant l'ensemble du barreau F (sixième hélice α de la globine). La structure 3D de la globine étant due à de nombreuses interactions entre les radicaux des acides aminés la composant, ce léger déplacement se propage à l'ensemble de la sous-unité (qui acquière une conformation légèrement plus compacte).

Remarque: le monoxyde de carbone CO

Fe2+ peut établir une liaison réversible avec O_2 , mais aussi une liaison irréversible avec CO. L'affinité de l'hème est 200 fois supérieure pour CO, par rapport à O_2 : de faibles pourcentages de CO dans l'air sont ainsi toxiques et peuvent conduire à la mort (défaut d'approvisionnement des cellules, en particulier des neurones, en O_2). La partie polypeptidique de la globine permet de créer un microenvironnement qui limite les possibilités de fixation du CO (noter en particulier l'histidine proximale E7, qui provoque une gêne stérique pour le CO), et qui permet d'éviter l'oxydation de Fe^{2+} en Fe^{3+} (qui ne peut plus fixer O_2 ; le sang séché a une couleur foncée due à cette oxydation par l'eau ; la globine crée une poche hydrophobe autour de l'hème, maintenant le Fer à l'état ferreux Fe^{2+}).

Une des manifestations « visibles » de la transition allostérique peut être observée au niveau de l'agencement relatif des deux dimères α - β formant l'hémoglobine : on observe une rotation de 15° d'un de ces dimères par rapport à l'autre lors de la transition allostérique (ce qui correspond à un déplacement 0,08 nm.



SV D-2.4 p01 AA & protéines

forme R (ou vice-versa)

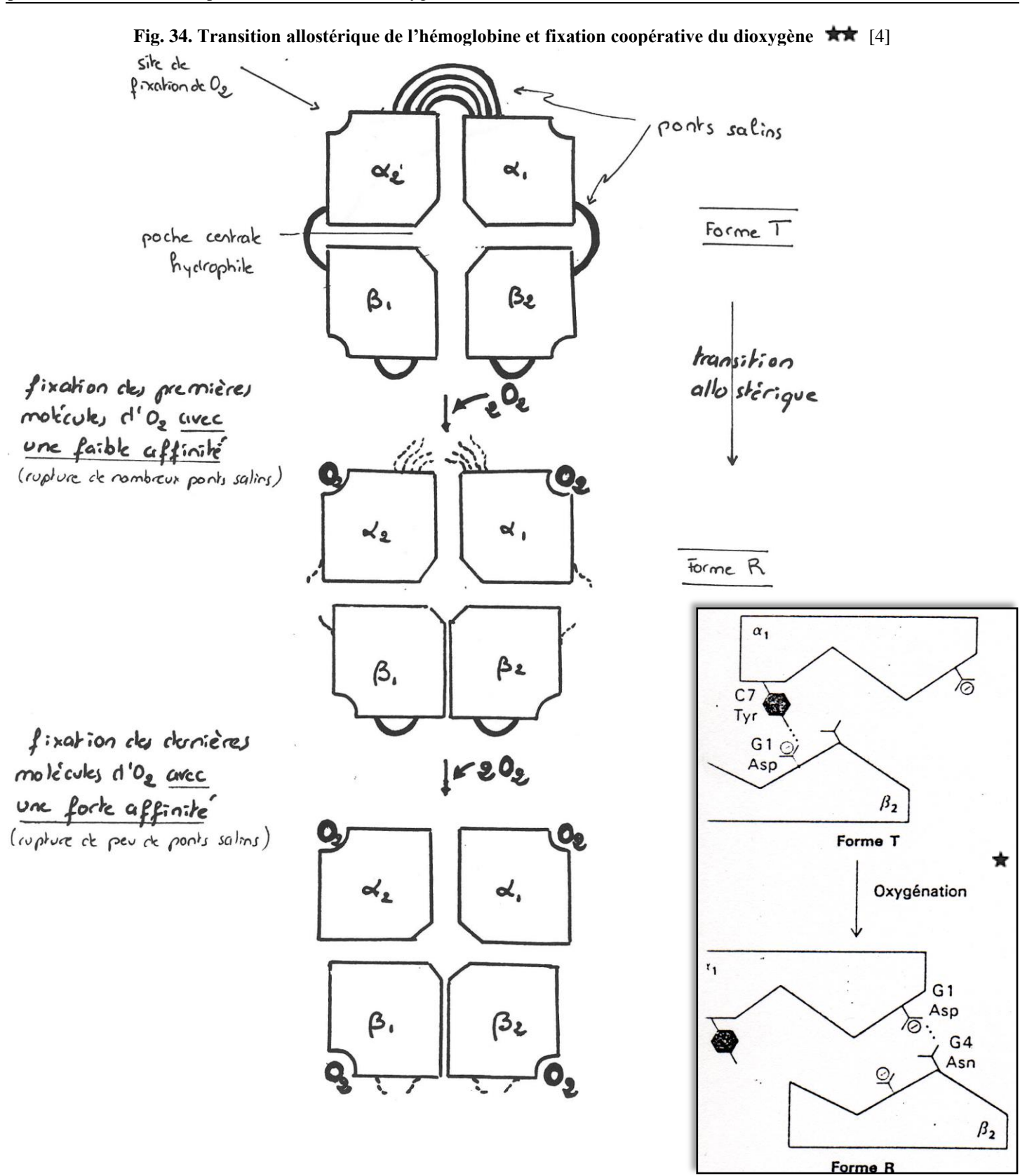
BCPST1 – G. Furelaud 12/13

(suite de la Fig. 33)

L'allostérie correspond à un changement de conformation d'une protéine à structure quaternaire suite à la fixation d'un ligand au niveau d'une sous-unité, qui modifie l'affinité des autres sous-unités vis-à vis du ligand de la protéine.

Dans le cas de l'hémoglobine, cette protéine est capable de fixer 4 O₂, un par globine : la fixation d'une première molécule de O₂ est difficile (la protéine présente une faible affinité pour le O₂ : elle est sous conformation T, tendue). La première fixation d'un O₂ entraîne (voir figure 25 page suivante) un changement de conformation de la sous-unité ayant fixé ce dioxygène. Ce changement de conformation d'une première globine provoque la rupture de liaisons électrostatiques (les « ponts salins ») présents entre les globines d'une même hémoglobine : ceci a pour conséquence d'induire un changement de conformation de l'ensemble de la protéine.

L'hémoglobine passe ainsi sous une autre conformation, la conformation R, relâchée. Cette conformation présente une affinité élevée pour le O₂, et il est ainsi « plus facile de fixer les dioxygènes suivants ».



BCPST1 – G. Furelaud 13/13

Fig. 35. La glycosylation des protéines.

La glycosylation des protéines **débute dans le réticulum endoplasmique**, dès la synthèse de la protéine. Elle est réalisée par des enzymes du réticulum, qui transfèrent, dans la majorité des cas, un ensemble de **14 oses** sur un résidu asparagine en une fois.

Après transfert des protéines dans l'appareil de Golgi, plusieurs évènements peuvent se produire, selon les protéines :

- Le motif de 14 oses peut être **modifié** (les 5 premiers oses étant conservés ; Fig. 35.A).
- Une **nouvelle-glycosylation** peut être réalisée sur un résidu sérine ou thréonine.
- Un mannose-6-phosphate peut être fixé sur un résidu asparagine.

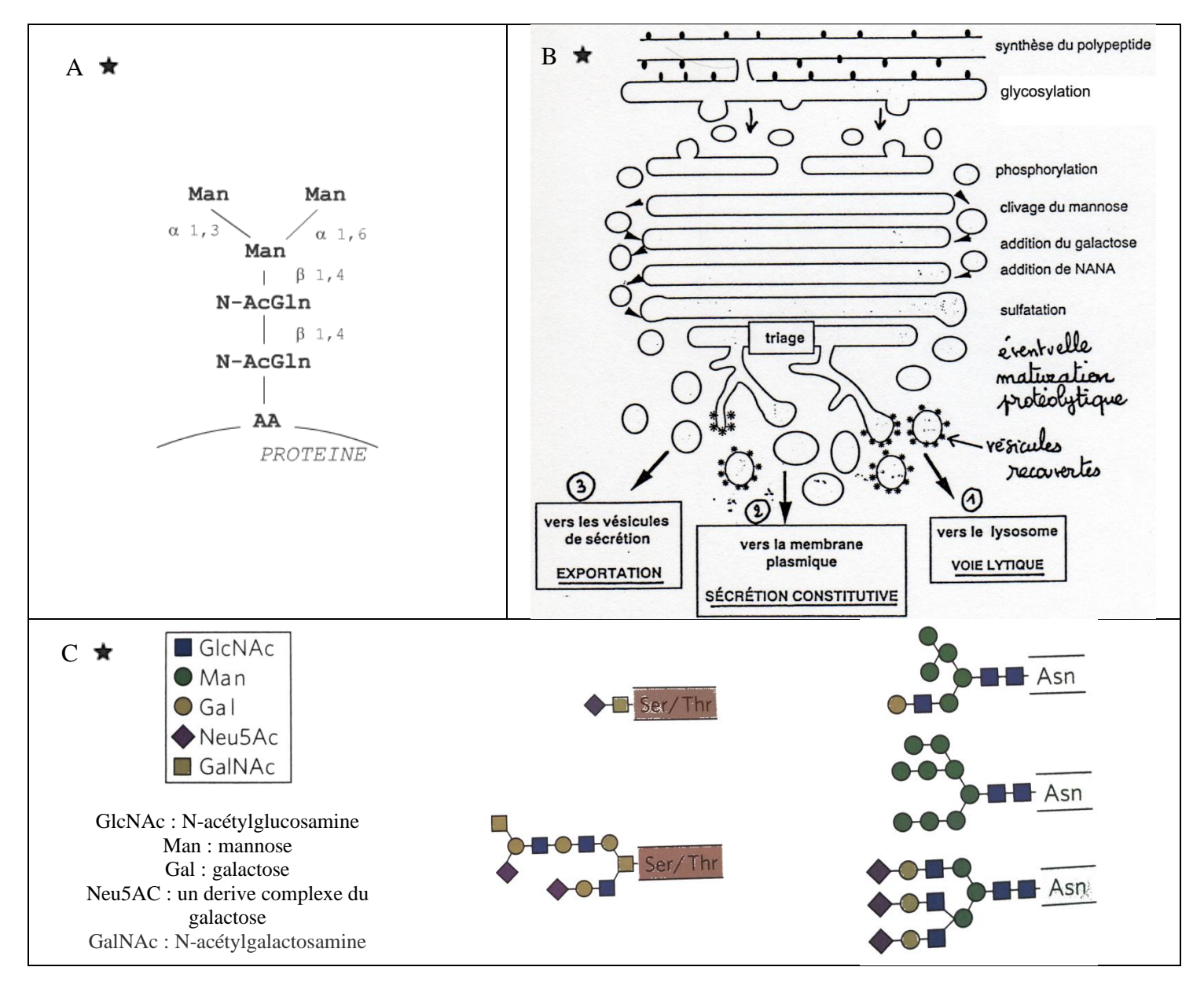
Exemples de motifs glucidiques : Fig. 35.B

Les ponts disulfures sont, eux, mis en place dans le réticulum endoplasmique.

Les protéines à destination des **lysosomes** sont « étiquettées » par du mannos-6-phosphate : ceci permet leur regroupement dans des vésicules à destination des lysosomes. <u>Fig. 35.C</u>

Les autres protéines passant par l'appareil de Golgi sont destinées soit à être secrétées hors de la cellule, soit à être intégrées à la membrane plasmique.

Les autres protéines (cytosoliques, nucléaires, etc.) ne sont pas synthétisées au niveau du réticulum, mais au niveau de ribosomes libres du cytosol.



Références	[1] ou absence de numéro : Ouvrage ou page Internet non précisé			
	[2] C. Perrier et al. Biologie BCPST1 tout-en-un. Dunod			
	[3] https://www.brenda-enzymes.org/ (BRENDA enzymes database)			
	[4] cours BCPST, Daniel Breton			